

رفتار سیلان آلیاژ تیتانیوم SP-700 حین تغییر شکل گرم کششی در مناطق دوفاز α/β و تکفاز β

امیرحسین شیخعلی^{*}، مریم مرکباتی و سید مهدی عباسی
پژوهشکده مواد فلزی، دانشگاه صنعتی مالک اشتر تهران

(دريافت مقاله: ۱۳۹۶/۷/۱۹ - دريافت نسخه نهايی: ۱۳۹۷/۱۰/۱۵)

چکیده- در اين پژوهش، بهمنظور بررسی رفتار سیلان گرم و ازدياد طول نسبی شمش ریختگی آلیاژ تیتانیوم SP-700، آزمایش کشش گرم در مناطق دوفاز α/β و تکفاز β با نرخ کرنش 0.1 s^{-1} بر ثانیه انجام شد. نتایج نشان داد که رفتار کشش گرم آلیاژ SP-700 در ناحیه دوفاز α/β (دهماهی ۷۰۰-۹۰۰ درجه سانتی گراد) به دلیل ماهیت فازهای آلفا و بتا و ساختار بلوری آنها، متفاوت از ناحیه تکفاز β (دهماهی ۹۵۰-۱۱۰۰ درجه سانتی گراد) است. زیرا تعداد سیستم‌های لغزش و درنتیجه مکانیزم تغییر شکل در ساختار هگزاگونال فشرده متفاوت از ساختار بلوری مکعبی مرکزدار است. از سوی دیگر، تغییرات شدید میزان ازدياد طول نسبی در محدوده دماهی $850-900^\circ\text{C}$ درجه سانتی گراد، ناشی از حذف تدریجی فاز آلفا از زمینه در اثر وقوع استحاله فازی آلفا به بتا بود. بررسی ریزساختار نشان داد که مکانیزم غالب تغییر شکل گرم آلیاژ SP-700 هنگام کشش گرم، بازیابی دینامیکی است. بنابراین علت افزایش میزان ازدياد طول نسبی آلیاژ با دما، به تضرس مرزدانه‌ها و وقوع بازیابی دینامیکی نسبت داده شد. درحالی که با افزایش دما در محدوده $1100-1000^\circ\text{C}$ درجه سانتی گراد، رشد دانه‌های بتا و وقوع شکست مرزدانه‌ای باعث کاهش میزان ازدياد طول نسبی شده است.

واژه‌های کلیدی: آلیاژ تیتانیوم SP-700، آزمایش کشش گرم، نرم شدگی سیلان، ازدياد طول نسبی، بازیابی دینامیکی.

Flow Behavior of SP-700 Titanium Alloy During Hot Tensile Deformation in $\alpha+\beta$ and β Phase Regions

A. Sheikhali*, M. Morakkabati and S. M. Abbasi

Metallic Materials Research Center, Malek Ashtar University of Technology, Tehran, Iran.

Abstract: In this paper, in order to study the flow behavior and elongation of as-cast ingots of SP-700 titanium alloy, hot tensile test was done in α/β dual phase and β single phase regions using strain rate of 0.1 s^{-1} . Results showed that the hot tensile behavior of SP-700 in the α/β dual phase region ($700-900^\circ\text{C}$) was different from the β single phase one ($950-1100^\circ\text{C}$) due to the nature of alpha and beta phases and their crystallographic structure. This was since the number of slip systems and deformation mechanism in HCP structure were different from those in BCC structure. Beside, the intensive variation of elongation in

*: مسئول مکاتبات، پست الکترونیکی: Sheikhali.85@gmail.com

temperature range of 850-900 °C was due to the occurrence of beta transformation and removal of the alpha phase. The microstructural studies showed that the dominant mechanism of hot tensile deformation of SP-700 alloy was dynamic recovery (DRV). Thus, serration of grain boundaries and occurrence of DRV were the reasons for the increase of elongation with the rise of temperature. However, beta grains growth and occurrence of grain boundary fracture made a slight decrease in elongation in the temperature range of 1000-1100 °C.

Keywords: SP-700 titanium alloy, Hot tensile test, Flow softening, Elongation, Dynamic recovery.

تجهیزات ورزشی را دارند [۸].

در دو دهه گذشته علاوه بر تحقیقاتی که پیرامون شکل دهی سوپرپلاستیک آلیاز SP-700 انجام گرفته [۱ و ۹]، مقالات اندکی نیز در مورد فرایندهای تغییر شکل گرم آن منتشر شده که چندان به تحولات ریزساختاری، مکانیزم های تغییر شکل و ارائه مدل های دینامیکی برای آن پرداخته نشده است [۱۰ و ۱۱]. در حالی که فرایندهای تغییر شکل گرم آلیاز های تیتانیوم در مقایسه با سایر مواد مهندسی نظیر آلومینیوم و فولاد، بد دلیل استحکام بالاتر، دمای تغییر شکل بالاتر، حساسیت به نرخ کرنش بیشتر و غیره، به نسبت دشوارتر است [۱۲]. بنابراین در زمینه بررسی فرایندهای تغییر شکل گرم، بررسی تحولات ریزساختاری و تعیین مکانیزم های تغییر شکل نیاز به مطالعه و تحقیق وجود دارد. زیرا این موضوع به کسب دانش فنی تولید و فراوری شمش ریختگی آلیاز مربوط می شود و از اهمیت ویژه ای برخوردار است. لذا در این تحقیق به بررسی رفتار تغییر شکل گرم شمش ریختگی آلیاز SP-700 با استفاده از آزمایش کشش گرم پرداخته شده و به منظور تعیین مکانیزم تغییر شکل گرم، تحولات ریزساختاری ناشی از آن نیز مورد بررسی قرار گرفته است.

۲- مواد و روش تحقیق

پس از دو مرحله ذوب شمش ۱۰ کیلوگرمی آلیاز شبه بتای SP-700 در کوره VAR، به منظور کاهش جدایش ها و ناهمگنی های ناشی از فرایند ریخته گری، عملیات حرارتی همگن سازی به مدت پنج ساعت در دمای ۱۱۵۰ درجه سانتی گراد انجام شد. لازم به ذکر است که به دلیل جلوگیری از ایجاد ترک یا تنش های پسماند، شمش پس از همگن سازی به آرامی و در هوا تا دمای محیط سرد شد. در جدول (۱) مشخصات فنی کوره VAR حین ذوب مجدد آلیاز SP-700 مشاهده می شود.

۱- مقدمه

آلیاز Ti-4.5Al-3V-2Mo-2Fe، یک آلیاز تیتانیوم دوفازی غنی از فاز β بوده که به دلیل خواص سوپرپلاستیک عالی در مقایسه با آلیاز Ti-6Al-4V، در سال ۱۹۸۹ میلادی توسط شرکت ژاپنی NKK^۱ معرفی شده است [۱]. این آلیاز به منظور کاربردهای شکل دهی سوپرپلاستیک توسعه یافته و به دلیل خواص سوپرپلاستیک عالی در دمای ۷۰۰ درجه سانتی گراد، SP-700^۲ نام گرفته است [۲].

رفتار سوپرپلاستیک در آلیاز های تیتانیوم به شدت تحت تأثیر فاز β است. از سوی دیگر فاز β تشکیل شده در آلیاز SP-700 در مقایسه با آلیاز Ti-6Al-4V پایداری ترمودینامیکی بیشتری دارد. زیرا میزان عناصر پایدار کننده فاز β و درنتیجه درصد مولیبدن معادل آلیاز SP-700 بیشتر است [۳]. همچنین آلیاز SP-700 که یک آلیاز تیتانیوم دوفازی غنی از β است، در مقایسه با آلیاز Ti-6Al-4V (غنی از فاز α) خواص مکانیکی بالاتر نظیر استحکام خستگی، استحکام کششی و چقرمگی شکست و دمای شکل دهی سوپرپلاستیک پایین تری دارد [۴]. دمای سوپرپلاستیک آلیاز SP-700 در محدوده ۷۰۰-۸۰۰ درجه سانتی گراد گزارش شده است [۵]. در واقع آلیاز SP-700 یکی از آلیاز های تیتانیوم موفق به منظور توسعه فرایندهای شکل دهی سوپرپلاستیک است [۲].

مهم ترین محدودیت آلیاز های تیتانیوم، هزینه بالای تولید و قیمت تمام شده آنها است که کاربرد آنها را عدمتاً به صنایع نظامی و صنایع هوایی منحصر می کند [۶ و ۷]. از این رو آلیاز های تیتانیوم کم هزینه^۳ (LC) که حاوی ترکیبات در دسترس و ارزان قیمت (آمیزان ها) به جای عناصر آلیازی خالص هستند، نسبت به سایر آلیاز های تیتانیوم پتانسیل بیشتری برای کاربرد در صنایع مختلف از جمله پزشکی، خودروسازی و

جدول ۱- مشخصات فنی کوره VAR حین ذوب مجدد آلیاژ SP-700

مشخصه	مقدار
قطر قالب (سانتی‌متر)	۱۰
خلأً اولیه (میلی‌بار)	۰/۹
خلأً کاری (میلی‌بار)	۱-۲
شدت جریان (آمپر)	۳۱۰۰ ± ۱۰۰
سرعت (میلی‌متر بر دقیقه)	۴۰
جابه‌جایی (سانتی‌متر)	۲۱۰
دماهی اولیه قالب (درجه سانتی‌گراد)	۲۶
دماهی نهایی قالب (درجه سانتی‌گراد)	۲۷

جدول ۲- محدوده مجاز و آنالیز ترکیب شیمیایی شمش آلیاژ SP-700

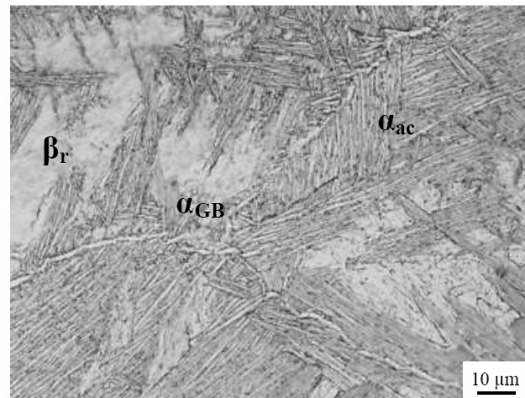
نمونه	درصد وزنی					
	Ti	Al	V	Fe	Mo	O
محدوده مجاز	بقیه	۴-۵	۲/۵-۳/۵	۱/۷-۲/۳	۱/۸-۲/۲	< ۰/۱۸
ترکیب شمش	۸۸/۵	۴/۴	۲/۸۵	۲/۱	۲/۱۵	۰/۰۹

ابتدا بهمنظور رسیدن به شرایط هم‌دما، نمونه‌ها به مدت ۱۰ دقیقه در دماهی آزمایش حرارت داده شده و سپس تا وقوع شکست تحت کشش قرار گرفتند. لازم به ذکر است که پس از آزمایش کشش گرم، برای حفظ ریزساختار دما بالا و امکان بررسی آن، بلافاصله نمونه‌ها در آب سرد شدند. نتایج حاصل از آزمایش کشش گرم شمش ریختگی آلیاژ SP-700 به تعیین دمای مناسب برای نورد گرم اولیه آن منجر می‌شود.

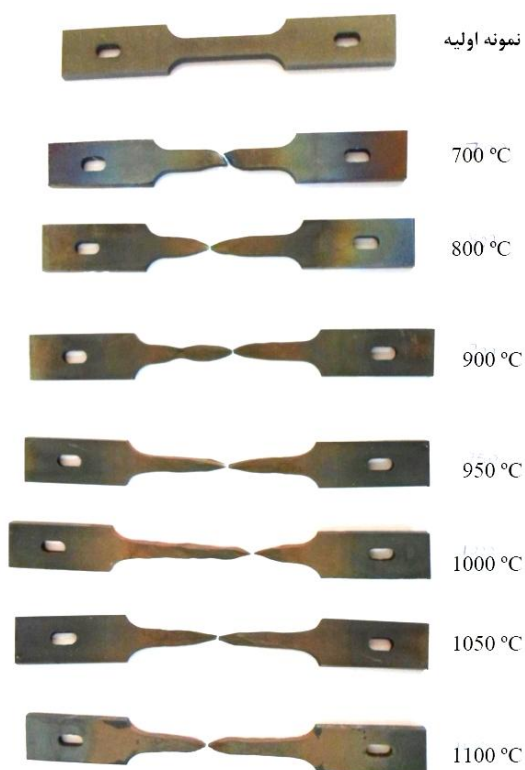
برای متالوگرافی محلول حاوی $92\% \text{H}_2\text{O} + 5\% \text{HNO}_3 + 3\% \text{HF}$ مورد استفاده قرار گرفت و برای بررسی ریزساختاری نمونه‌های کشش گرم از میکروسکوپ نوری^۷ مدل Olympus BX 51 و میکروسکوپ الکترونی رو بشی مدل TESCAN-VEGA 3 استفاده شد. در شکل (۱) ریزساختار شمش ریختگی آلیاژ SP-700 پس از همگنسازی در دماهی ۱۱۵°C درجه سانتی‌گراد نشان داده شده است. در این شرایط به دلیل سرمایش در هوای فاز آلفای مرزدانه‌ای^۸ (α_{GB}) و رسوبات فاز آلفای سوزنی^۹ (α_{ac}) در دانه‌های بتای اولیه تشکیل شده است. همچنین مقادیر قابل توجهی فاز بتای باقی‌مانده

پس از تهیه شمش ریختگی آلیاژ SP-700، ترکیب شیمیایی آن با استفاده از میکروسکوپ الکترونی رو بشی^۴ مدل TESCAN-VEGA3 مجهز به آنالیز تفکیک انزیمی (EDS) مورد بررسی قرار گرفت. همان‌طور که نتایج در جدول (۲) ملاحظه می‌شود، ترکیب شیمیایی شمش ریختگی بر اساس استانداردهای AMS 4899 [۱۲] و AMS 4964 [۱۴] در محدوده مجاز آلیاژ SP-700 قرار دارد. با استفاده از روش متالوگرافی دمای استحاله آلیاژ حدود ۹۳۰ ± ۱۰ درجه سانتی‌گراد تعیین شد.

بهمنظور بررسی رفتار سیلان گرم و تعیین میزان ازدیاد طول نسبی آلیاژ SP-700 در شرایط ریختگی، آزمایش کشش گرم در محدوده دماهی $۷۰\text{--}۱۱۰^{\circ}\text{C}$ درجه سانتی‌گراد (مناطق دوفاز α/β و تکفاز β) و نرخ کرنش $۰/۱$ بر ثانیه با استفاده از دستگاه سرو هیدرولیک^۹ مدل Instron 8502 مجهز به کوره مقاومتی انجام شد. نمونه‌های تحت آزمایش کشش گرم مطابق استاندارد ASTM E21 [۱۵] با ضخامت سه میلی‌متر، طول سنجه ۲۵ میلی‌متر، پهنای سنجه $۶/۲۵$ میلی‌متر و طول کلی ۱۰۰ میلی‌متر تهیه شدند.



شکل ۱- ریزساختار شمش ریختگی آلیاز SP-700 پس از همگن سازی در دمای ۱۱۵۰ درجه سانتی گراد و سرمایش در هوا



شکل ۲- نمونه های آزمایش کشش گرم شمش ریختگی آلیاز SP-700 پس از وقوع شکست

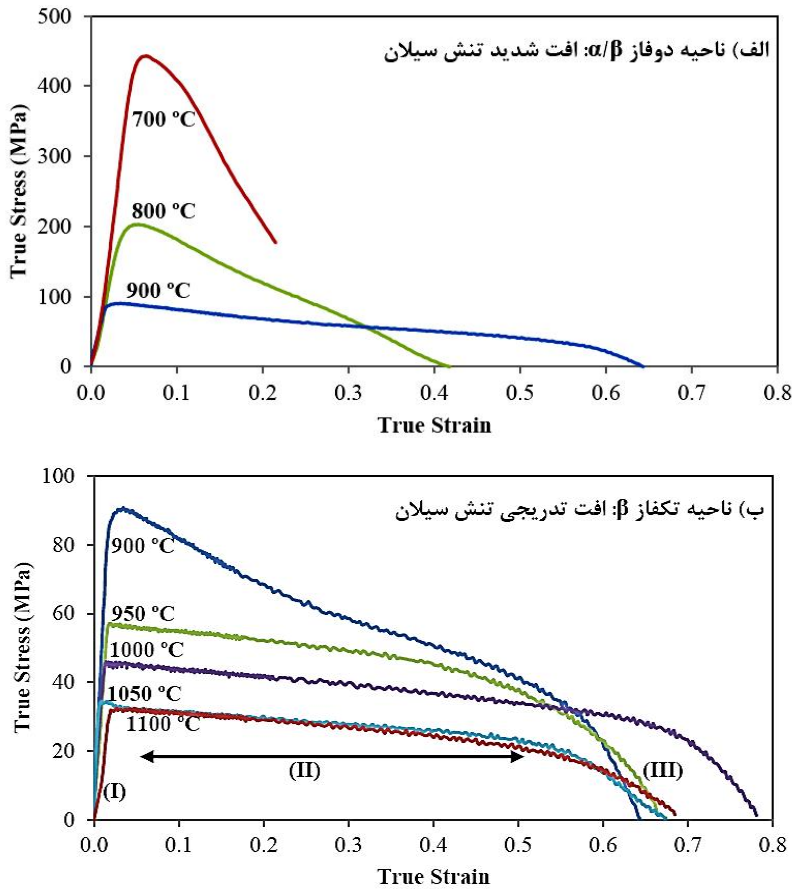
آزمایش کشش گرم در دماهای ۷۰۰، ۸۰۰، ۹۰۰، ۹۵۰، ۱۰۰۰، ۱۰۵۰ و ۱۱۰۰ درجه سانتی گراد با نرخ کرنش ۱/۰ بر ثانیه انجام شد. در شکل (۲) نمونه های آزمایش کشش گرم پس از وقوع شکست نشان داده شده است. همان طور که مشاهده می شود، نمونه ها قبل از وقوع شکست متحمل تغییر

شکل قابل توجهی شده اند.

نیز در ریزساختار وجود دارد. ریزساختار دانه درشت، وجود فاز آلفای مرزدانه ای و رسوبات فاز آلفای سوزنی در این شرایط، سبب افت میزان ازدیاد طول نسبی می شود.

۳- نتایج و بحث

به منظور بررسی رفتار تغییر شکل گرم شمش ریختگی آلیاز



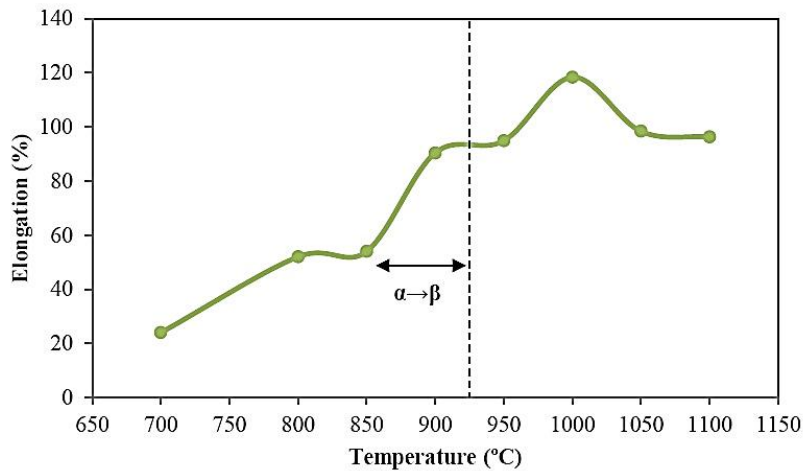
شکل ۳- نمودار تنش- کرنش حقیقی حاصل از آزمایش کشش گرم شمش ریختگی آلیاژ SP-700 در دماهای ۷۰۰-۱۱۰۰ درجه سانتی گراد با نرخ کرنش $1\text{ }\mu\text{m/m}$ ؛ (الف) محدوده دمایی دوفاز و (ب) محدوده دمایی تکفاز

نظیر مرزدانه‌ها و رسوبات فاز آلفای موجود در زمینه، سبب افزایش سریع استحکام در منحنی تنش- کرنش شده است. پدیده کارسختی و قفل شدن نابجایی‌ها تا رسیدن به تنش حداکثر (σ_{p}) ادامه می‌یابد [۱۶].

پس از آن، منطقه دوم (II) آغاز می‌شود که در دماهای ۹۰۰-۷۰۰ درجه سانتی گراد (ناحیه دوفاز α/β) با افت شدید تنش و در دماهای ۱۱۰۰-۹۵۰ درجه سانتی گراد (ناحیه تکفاز β) با افت تدریجی تنش همراه است. علت وجود منطقه II در ناحیه تکفاز β ، وقوع فرایندهای ترمیم دینامیکی و برقراری تعادل بین کارسختی و بازیابی هنگام تغییر شکل است [۱۷]. درواقع حذف یا آرایش مجدد نابجایی‌ها^۱، تشکیل مرزهای فرعی و رشد دانه‌های فرعی یا به عبارت دیگر وقوع بازیابی

شکل (۳) نمودارهای تنش- کرنش حاصل از آزمایش کشش گرم شمش ریختگی آلیاژ SP-700 را در مناطق دوفاز α/β و تکفاز β نشان می‌دهد. همان‌طور که مشاهده می‌شود، نمودارهای تنش- کرنش حاصل از کشش گرم آلیاژ SP-700 دارای سه منطقه جداگانه هستند که ناشی از وقوع پدیده‌های متالورژیکی مهم نظیر کارسختی، ترمیم دینامیکی و گلویی شدن است.

منطقه اول (I) که با افزایش شدید استحکام در اثر وقوع کارسختی همراه است و در ابتدای نمودار تنش- کرنش مشاهده می‌شود. زیرا با آغاز تغییر شکل کششی در نمونه، چگالی زیادی از نابجایی‌های متحرک به وجود می‌آیند. قفل شدن این نابجایی‌ها در اثر برخورد با یکدیگر و یا برخورد با مواد دیگر



شکل ۴- نمودار تغییرات ازدیاد طول نسبی شمش ریختگی آلیاژ SP-700 با دما در نرخ کرنش $1^{\circ}\text{C}/\text{بر ثانیه}$

وقوع شکست نمونه در منطقه III می‌شود.

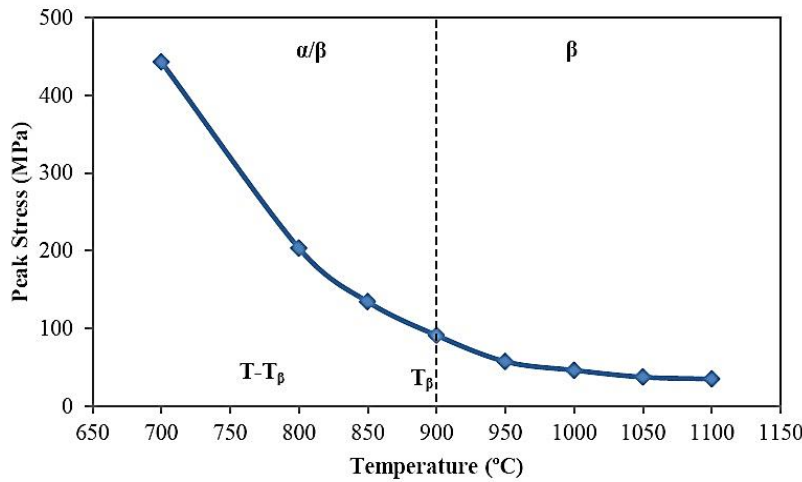
۳-۲- تغییرات ازدیاد طول نسبی

در شکل (۴) نمودار تغییرات ازدیاد طول نسبی آلیاژ SP-700 با دما در نرخ کرنش $1^{\circ}\text{C}/\text{بر ثانیه}$ نشان داده شده است. همان‌طور که مشاهده می‌شود با افزایش دما، میزان ازدیاد طول نسبی آلیاژ افزایش یافته و در دمای 1000°C درجه سانتی‌گراد به بیشترین مقدار (118°C) می‌رسد. از سوی دیگر ازدیاد طول نسبی نمونه‌های کشش گرم آلیاژ SP-700 در محدوده دمایی $850^{\circ}\text{C}-900^{\circ}\text{C}$ درجه سانتی‌گراد دارای تغییرات شدید است که می‌تواند ناشی از حذف تدریجی فاز آلفا از زمینه در اثر وقوع استحاله فازی آلفا به بتا باشد. بررسی ریزاساختار نمونه‌های آزمایش کشش گرم در بخش (۳-۴) به تعیین مکانیزم‌های تغییر شکل و مشخص شدن علت افزایش ازدیاد طول نسبی آلیاژ کمک بیشتری می‌کند.

۳-۳- تغییرات بیشینه استحکام کششی

شکل (۵) نمودار تغییرات بیشینه استحکام کششی شمش آلیاژ SP-700 را با دما نشان می‌دهد. همان‌طور که مشاهده می‌شود، شدت افت تنش پیک با دما در ناحیه تک‌فاز بسیار کمتر از ناحیه دوفاز α/β است. زیرا استحکام کششی آلیاژ SP-700 در

دینامیکی^{۱۱} (DRV) در منطقه II سبب رسیدن به سیلان حالت پایدار می‌شود [۱۸]. بنابراین وسعت منطقه II در دماهای $950^{\circ}\text{C}-1100^{\circ}\text{C}$ درجه سانتی‌گراد، به میزان وقوع ترمیم دینامیکی حین تغییر شکل بستگی دارد. به طوری که هرچه میزان وقوع بازیابی دینامیکی بیشتر باشد، وسعت منطقه II نیز افزایش می‌یابد. در حالی که اگر میزان وقوع ترمیم دینامیکی انداز باشد (ناحیه دوفاز α/β)، تنش سیلان با افت شدید همراه است. درنتیجه وسعت منطقه II کمتر بوده و منحنی تنش-کرنش زودتر وارد منطقه III می‌شود. زیرا وقوع ترمیم دینامیکی سبب افزایش میزان کارپذیری ماده می‌شود [۱۷]. بنابراین هرچه زودتر منحنی تنش-کرنش به منطقه III برسد، به معنی میزان کمتر وقوع ترمیم دینامیکی و قابلیت کمتر نمونه برای تغییر شکل است. بر این اساس می‌توان دریافت که وقوع ترمیم دینامیکی در دماهای $950^{\circ}\text{C}-1100^{\circ}\text{C}$ درجه سانتی‌گراد (ناحیه تک‌فاز) سبب افزایش میزان ازدیاد طول نسبی آلیاژ SP-700 شده است. در حالی که در دماهای $700^{\circ}\text{C}-900^{\circ}\text{C}$ درجه سانتی‌گراد (ناحیه دوفاز)، میزان وقوع ترمیم دینامیکی و درنتیجه وسعت منطقه II کمتر بوده و آلیاژ ازدیاد طول نسبی کمتری دارد. درنهایت با اعمال کرنش بیشتر، قابلیت تحمل کرنش (تغییر شکل یکنواخت) توسط نمونه در منطقه II به پایان می‌رسد. درنتیجه آغاز تغییر شکل غیریکنواخت و گلویی شدن، سبب



شکل ۵- تغییرات پیشینه استحکام کششی شمش ریختگی آلیاژ SP-700 با دمای تغییر شکل

آلfa حذف شده و از دیاد طول نسبی آلیاژ افزایش می‌یابد. لازم به ذکر است که به دلیل اینکه نمونه‌های کشش گرم پس از شکست بالا فاصله در آب سرد شده‌اند، در دماهای بالاتر ($T > 900$ درجه سانتی‌گراد)، فاز مارتزیت در زمینه بتا تشکیل شده است. از سوی دیگر همان‌طور که انتظار می‌رود (دمای استحکام آلیاژ حدود ۹۳۰ درجه سانتی‌گراد به دست آمده بود) در دماهای بالاتر از ۹۵۰ درجه سانتی‌گراد (شکل ۷)، فاز آلfa به‌طور کامل حذف شده و با افزایش دما تا ۱۰۰۰ درجه سانتی‌گراد، از دیاد طول نسبی آلیاژ افزایش قابل توجهی داشته و میزان از دیاد طول نسبی به ۱۱۸ درصد می‌رسد. اما با افزایش بیشتر دما تا ۱۰۵۰ و ۱۱۰۰ درجه سانتی‌گراد، از دیاد طول نسبی آلیاژ اندکی کاهش می‌یابد و میزان از دیاد طول نسبی تا ۹۶ درصد می‌رسد.

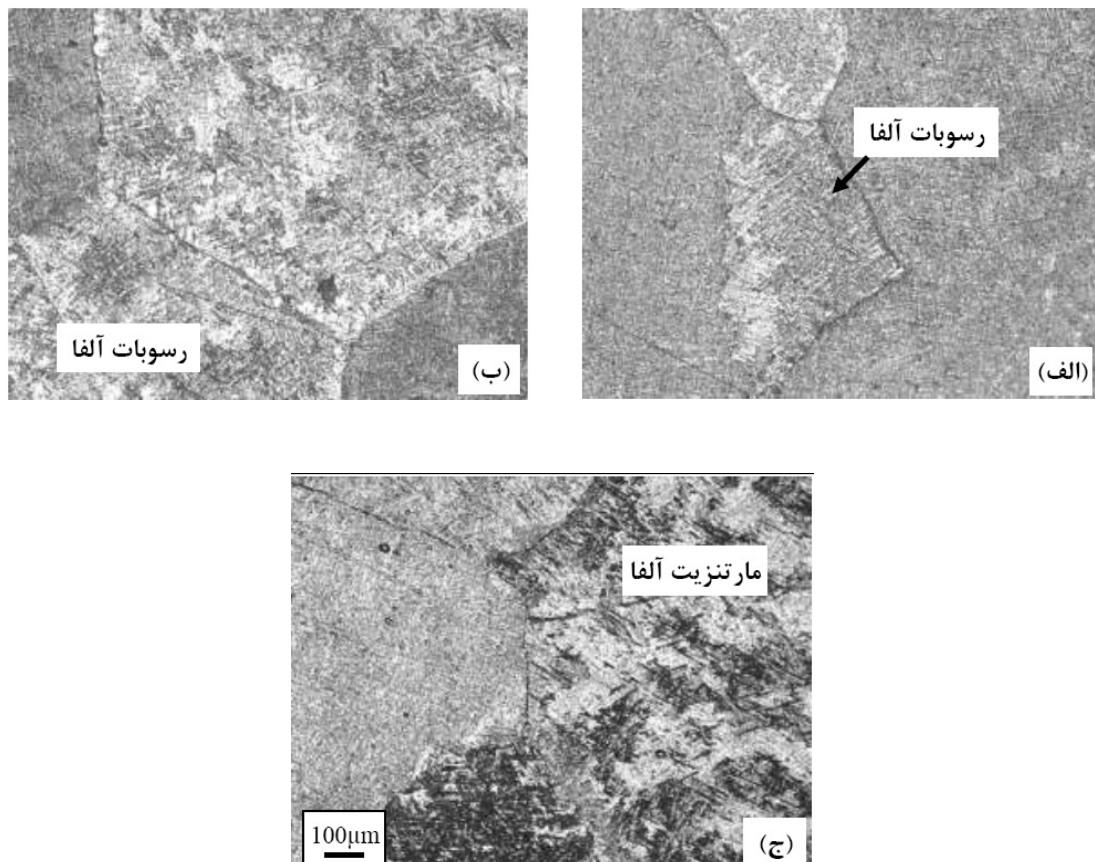
لازم به ذکر است که در ریزساختار نمونه‌های کشش گرم آلیاژ SP-700 در دماهای بالاتر از ۹۵۰ درجه سانتی‌گراد (شکل ۷)، دندانه‌دار شدن^{۱۳} مرزدانه‌ها مشاهده می‌شود که بیانگر وقوع بازیابی دینامیکی است [۱۷]. موارد مشابه نیز قبلًا در مورد آلیاژ تیتانیوم بتای Ti-13V-11Cr-3Al [۲۱] و آلیاژ تیتانیوم شبکه‌آلپای IMI834 [۲۲] گزارش شده است.

هامفریز و هادرلی [۱۷] معتقدند که حین تغییر شکل گرم، مرزدانه‌ها به‌دلیل وجود تنش در مرزهای فرعی و تغییر چگالی

ناحیه دوفاز وابسته به مورفولوژی و کسر حجمی فاز آلfa است. از سوی دیگر مورفولوژی و کسر حجمی فاز آلfa در آلیاژ‌های تیتانیوم در این محدوده دمایی (پایین‌تر از دمای استحکام آلیاژ) به‌شدت وابسته به دما ($T-T_\beta$) است [۱۹]. در حالی که در ناحیه تک‌فاز بتا، عمدتاً رشد دانه‌های بتا و فعال شدن مکانیزم نفوذی، بر استحکام کششی آلیاژ‌های تیتانیوم تأثیرگذار است [۱۸]. از سوی دیگر، این امر با ماهیت فازهای آلfa و بتا و ساختار بلوری آنها نیز مرتبط است. در ساختار بلوری هگزاگونال فشرده (HCP) جمعاً ۱۲ سیستم لغزش^{۱۴} وجود دارد. در حالی که ساختار بلوری مکعبی مرکز پر (BCC)، ۲۴ سیستم لغزش فعال دارد. درنتیجه مکانیزم تغییر شکل در فاز آلfa با ساختار بلوری HCP متفاوت از فاز بتا با ساختار بلوری BCC است [۲۰]. لذا شبکه تغییرات تنش پیک با دما در ناحیه دوفاز بیشتر از ناحیه تک‌فاز است.

۳-۴- ریزساختار نمونه‌های کشش گرم

شکل‌های (۶) و (۷) ریزساختار طول سنجه (با کرنش تقریبی ۰/۵) نمونه‌های کشش گرم آلیاژ SP-700 را به ترتیب در مناطق دوفاز و تک‌فاز نشان می‌دهند. همان‌طور که در شکل (۶) مشاهده می‌شود با افزایش دما از ۷۰۰ تا ۹۰۰ درجه سانتی‌گراد به‌دلیل نزدیک شدن به دمای استحکام آلیاژ، به تدریج رسوبات فاز



شکل ۶- ریزساختار نمونه‌های کشش گرم (با کرنش تقریبی ۵٪ آلیاز SP-700 در دماهای: (الف) ۱۱۰۰، (ب) ۹۰۰ و (ج) ۸۰۰ درجه سانتی گراد

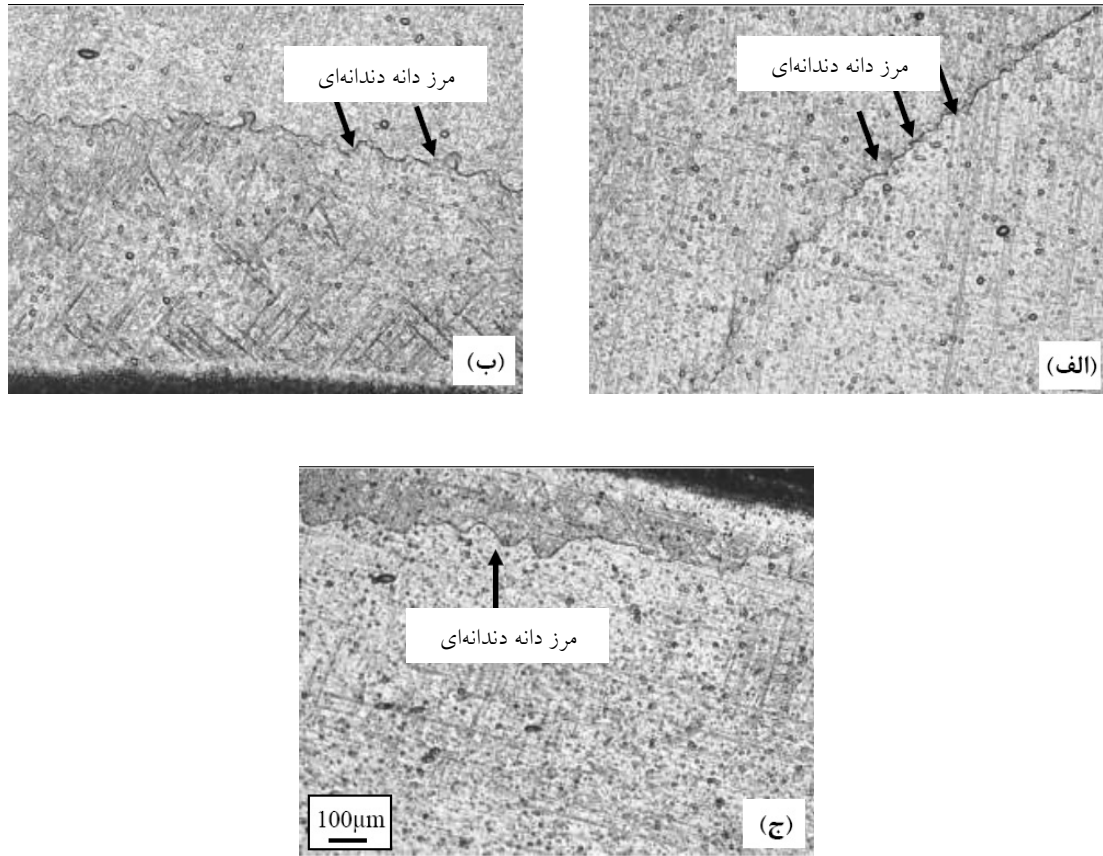
درجه سانتی گراد به تدریج از دیاد طول نسبی آلیاز افزایش می‌یابد و پس از آن بدلیل رشد دانه‌های بتا با افت میزان از دیاد طول نسبی مواجه شدند. آنها نیز علت از دیاد طول نسبی خوب آلیاز Ti-10V-2Fe-3Al را در منطقه تک‌فاز بتا به وقوع بازیابی دینامیکی حین تغییر شکل گرم نسبت داده‌اند.

تشکیل مرزدانه‌های فرعی حین تغییر شکل، دانه‌های درشت اولیه را به دانه‌های فرعی کوچک تقسیم می‌کنند. این مرزها معمولاً ترکیبی از دیواره‌های نابجایی^{۱۴} و شبکه‌های نابجایی^{۱۵} هستند [۲۴]. اما با وجود دندانه‌دار شدن مرزدانه‌ها در دماهای ۱۰۰۰ و ۱۱۰۰ درجه سانتی گراد، میزان از دیاد طول نسبی در مقایسه با دماهای ۱۰۰۰ درجه سانتی گراد اندکی کاهش یافته و از ۱۱۸ درصد به ترتیب به ۹۸ و ۹۶ درصد رسیده است.

سوزوکی و همکاران، علت افت از دیاد طول نسبی آلیاز

نابجایی‌ها، به صورت موضعی مهاجرت می‌کنند. درنتیجه آنها دندانه‌دار می‌شوند، به‌طوری که طول موج این دندانه‌ها با اندازه دانه‌های فرعی موجود در ریزساختار مرتبط است. از این‌رو این دندانه‌دار شدن به عنوان یکی از ویژگی‌های بازیابی دینامیکی شناخته می‌شود و می‌توان دریافت که در این شرایط، قوع بازیابی دینامیکی مکانیزم غالب ترمیم است. بنابراین علت اصلی افزایش از دیاد طول نسبی زیاد آلیاز SP-700 در دماهای ۱۱۰۰-۹۵۰ درجه سانتی گراد را می‌توان به دندانه‌دار شدن مرزدانه‌ها در ریزساختار نمونه کشش و درنتیجه وقوع بازیابی دینامیکی حین تغییر شکل گرم آلیاز نسبت داد.

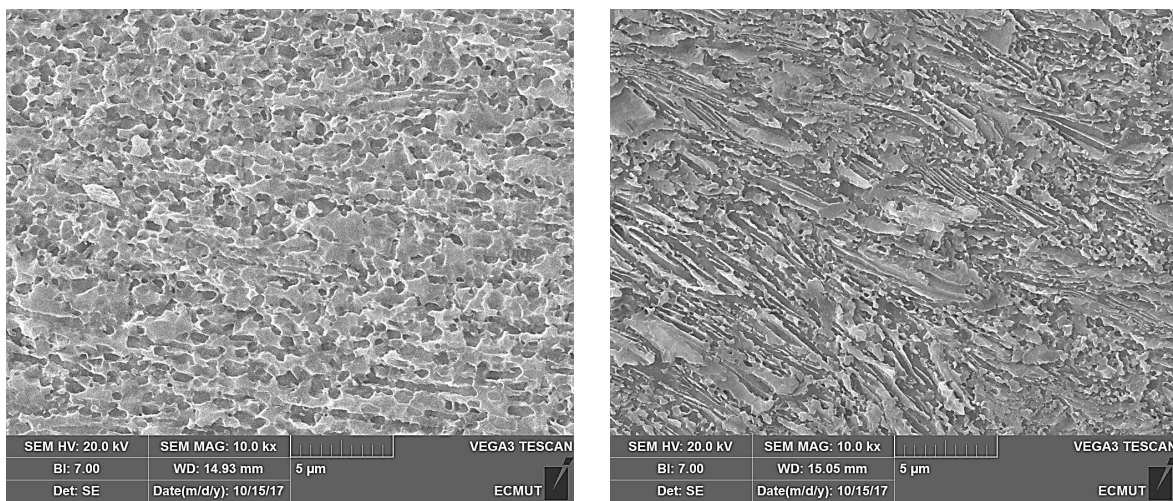
سوزوکی و همکاران [۲۳] با بررسی رفتار کشش گرم آلیاز تیتانیوم شبه‌بتابی Ti-10V-2Fe-3Al در محدوده دمایی ۱۱۰۰-۱۰۰۰ درجه سانتی گراد مشاهده کردند که با افزایش دما تا ۱۰۰۰



شکل ۷- ریزساختار نمونه‌های کشش گرم (با کرنش تقریبی $0/5\%$) آلیاژ SP-700 در دماهای: (الف) 950°C
ب) 1000°C و (ج) 1100°C درجه سانتی گراد

خواهد بود.
در شکل (۸) تصویر میکروسکوپی الکترونی رویشی از ریزساختار نوک شکست نمونه‌های کشش گرم آلیاژ SP-700 در دماهای 700°C و 800°C درجه سانتی گراد نشان داده شده است. همان‌طور که در شکل (۸-الف) ملاحظه می‌شود، در دمای 700°C درجه سانتی گراد رسوبات فاز آلفای لایه‌ای با ضخامت کمتر از یک میکرومتر تشکیل شده و در جهت کشش کشیده شده‌اند. درحالی که در دمای 800°C درجه سانتی گراد، رسوبات کروی فاز آلفا با ابعاد حدود یک میکرون تشکیل شده است (شکل ۸-ب). این امر با اعمال کرنش قابل توجه در قسمت نوک شکست نمونه‌های کشش مرتبط است. زیرا در قسمت طول سنجه که کرنش حدود $0/5\%$ اندازه‌گیری شده است، رسوبات فاز آلفای لایه‌ای و کروی با ابعاد یک میکرون مشاهده

Ti-10V-2Fe-3Al در محدوده دمایی $1000-1100^\circ\text{C}$ درجه سانتی گراد را به رشد دانه‌های بتا و تجمع کرنش در مرزدانه‌های α/β نسبت داده‌اند [۲۳ و ۲۵]. در این شرایط، اگر تغییر شکل کششی اعمال شود، تجمع کرنش در مرزدانه‌ها منجر به وقوع شکست مرزدانه‌ای در آلیاژ می‌شود. تجمع کرنش در مرزدانه‌ها به همراه رشد دانه‌های بتا مخرب تر خواهد شد. لازم به ذکر است که این نوع از تردی به نرخ کرنش وابسته نیست و میزان پیشرفت استحالة فازی آلفا به بتا در افت از دیاد طول نسبی مؤثر است. اگرچه توقف استحالة آلفا به بتا تا حدی بر کاهش این نوع از تردی مؤثر است، اما برطرف شدن کامل آن غیرممکن است [۲۵]. اما در قسمت نوک شکست نمونه‌های کشش گرم، ریزساختار تحت تاثیر کرنش حقیقی حدود $2/3$ قرار گرفته و به دلیل ریزدانگی ریزساختار، دانه‌ها به سختی قابل مشاهده



شکل ۸- تصاویر میکروسکوپی الکترونی روبشی از ریزساختار نوک شکست نمونه‌های کشش گرم آلیاز SP-700 با نرخ کرنش ۱/۰ بر ثانیه در دماهای: (الف) ۷۰۰ و (ب) ۸۰۰ درجه سانتی‌گراد

۳- شدت افت تنش پیک با افزایش دما در ناحیه تکفاز بسیار کمتر از ناحیه دوفاز است. زیرا مورفولوژی و کسر حجمی فاز آلفا در ناحیه دوفاز به شدت وابسته به دما ($T-T_\beta$) است.

۴- منحنی‌های سیلان گرم آلیاز SP-700 در محدوده دمایی تکفاز، به‌دلیل وقوع فرایندهای ترمیم دینامیکی و تعادل بین کارستختی و بازیابی دینامیکی دارای افت تدریجی تنش سیلان است. درحالی که در ناحیه دوفاز، دارای افت شدید تنش سیلان است.

۵- دندانه‌دار شدن مرزدانه‌ها در دماهای بالاتر از ۹۵۰ درجه سانتی‌گراد، به‌دلیل وقوع بازیابی دینامیکی (DRV) حین کشش گرم است.

۶- رشد دانه‌های بتا و تجمع کرنش در مرزدانه‌های β/α در محدوده دمایی $1050-1100$ درجه سانتی‌گراد منجر به وقوع شکست مرزدانه‌ای و کاهش میزان ازدیاد طول نسبی آلیاز شده است.

۷- در قسمت نوک شکست نمونه‌های کشش گرم، در اثر اعمال کرنش زیاد ($\epsilon=2/3$) رسوبات لایه‌ای و کروی فاز آلفا تشکیل شده است.

نمی‌شود. درنتیجه علت اصلی افزایش میزان ازدیاد طول نسبی آلیاز با افزایش دما، تضرس مرزدانه‌ها و وقوع بازیابی دینامیکی است. درحالی که به‌نظر می‌رسد با افزایش دما در محدوده ۱۰۰۰-۱۱۰۰ درجه سانتی‌گراد، رشد دانه‌های بتا و شکست مرزدانه‌ای باعث کاهش میزان ازدیاد طول نسبی شده است.

۴- نتیجه‌گیری

در این مقاله رفتار سیلان گرم و ازدیاد طول نسبی شمش ریختگی آلیاز SP-700 با استفاده از آزمایش کشش گرم در نواحی دوفاز و تکفاز بررسی شده است. نتایج حاصل از بررسی خواص و ریزساختار نمونه‌ها پس از وقوع شکست نشان داد که:

۱- بیشترین ازدیاد طول نسبی آلیاز SP-700 (۱۱۸ درصد) با آزمایش کشش گرم در دمای ۱۰۰۰ درجه سانتی‌گراد و نرخ کرنش ۱/۰ بر ثانیه مشاهده شد.

۲- به‌دلیل وقوع استحاله فازی آلفا به بتا در محدوده دمایی ۸۵۰-۹۰۰ درجه سانتی‌گراد، ازدیاد طول نسبی آلیاز دارای تغییرات شدید است.

1. nippon Kokan
2. superplastic (SP)
3. low cost
4. scanning electron microscope (SEM)
5. energy dispersive spectroscopy (EDS)
6. servo hydraulic
7. optical microscope (OM)
8. grain boundary alpha
9. acicular alpha
10. dislocation annihilation
11. dynamic recovery
12. slip system
13. serrated
14. dislocation walls
15. dislocation networks

مراجع

1. Tan, M. J., and Hassan, S. F., "High Temperature Deformation of Titanium SP-700", *Ti-2007 Science and Technology*, pp. 567-570, 2007.
2. Fukai, H., Ogawa, A., and Minakawa, K., Mechanical Properties of SP-700 Titanium Alloy at Room Temperature, *Ti-2003 Science and Technology*, pp. 1847-1854, 2003.
3. Boyer, R., Welsch, G., and Collings, E. W., *Materials Property Handbook: Titanium Alloys*, USA, ASM International, 1994.
4. Lin, Y. H., Wu, S. M., Kao, F. H., Wang, S. H., Yang, J. R., Yang, C. C., and Chiou, C. S., "Microtwin Formation in the a Phase of Duplex Titanium Alloys Affected by Strain Rate", *Materials Science and Engineering A*, Vol. 528, pp. 2271-2276, 2011.
5. Sieniawski, J., and Motyka, M., "Superplasticity in Titanium Alloys", *Journal of Achievements in Materials and Manufacturing Engineering*, Vol. 24, pp. 123-130, 2007.
6. Fanning, J. C., "Military Applications for β Titanium Alloys", *Journal of Materials Engineering and Performance*, Vol. 14, pp. 686-690, 2005.
7. Moiseyev, V. N., *Titanium Alloys, Russian Aircraft and Aerospace Applications*, Taylor & Francis Group, 2006.
8. Sachdev, A. K., Kulkarni, K., Fang, Z. Z., Yang, R., and Girshov V., "Titanium for Automotive Applications: Challenges and Opportunities in Materials and Processing", *Journal of the Minerals Metals and Materials Society*, Vol. 64, pp. 553-565, 2012.
9. Ogawa, A., Niikura, M., Ouchi, C., Minikawa, K., and Yamada, M., "Development and Applications of Titanium Alloy SP-700 with High Formability", *Journal of Testing and Evaluation*, Vol. 24, pp. 17-26, 1996.
10. Zhu, L. W., Wang, X. N., Fei, Y., Li, J., Zhu, Z. S., "Characterization of Hot Deformation Behavior of Ti-4.5Al-3V-2Mo-2Fe Titanium Alloy", *Materials Science Forum*, Vol. 849, pp. 309-316, 2016.
11. Fukai, H., Ogawa, A., Minakawa, K., Sato, H., and Tsuzuku, T., "Hot Forming Characteristics of SP-700 Titanium Alloy", *Ti-2003 Science and Technology*, pp. 635-642, 2003.
12. Wanjara, P., Jahazi, M., Monajati, H., Yue, S., and Immarigeon, J. P., "Hot Working Behavior of Near- α Alloy IMI834", *Materials Science and Engineering A*, Vol. 396, pp. 50-60, 2005.
13. AMS 4899C, Titanium Alloy, Sheet, Strip, and Plate Ti-4.5Al-3V-2Fe-2Mo Annealed, 2011.
14. AMS 4964C, Titanium Alloy Bars, Wire, forgings, and Rings Ti-4.5Al-3V-2Fe-2Mo Annealed, 2011.
15. ASTM E21: Test Methods for Elevated Temperature Tension Tests of Metallic Materials, 2011.
16. Jonas, J. J., Aranas, C., Fall, A., and Jahazi, M., "Transformation Softening in Three Titanium Alloys", *Materials and Design*, Vol. 113, pp. 305-310, 2017.
17. Humphreys, F. J., and Hatherly, M., *Recrystallization and Related Annealing Phenomena*, Elsevier Publication., 2nd ed., New York, pp. 534-607, 2004.
18. Weiss, I., and Semiatin, S. L., "Thermomechanical Processing of Beta Titanium Alloys - an Overview", *Materials Science and Engineering A*, Vol. 243, pp. 46-65, 1998.
19. Zhou, Y. G., Zeng, W. D., and Yu, H. Q., "An Investigation of a New Near Beta Forging Process for Titanium Alloys and Its Application in Aviation Components", *Materials Science and Engineering A*, Vol. 393, pp. 204-212, 2005.
20. Lutjering, G., and Williams, J. C., *Titanium-Engineering Materials and Processes*, Springer, New York, 2007.
21. Sheikhali, A. H., Morakkabati, M., Abbasi, S. M., and Rezaei, A., "Superplasticity of Coarse-grained Ti-13V-11Cr-3Al Alloy", *International Journal of Materials Research*, Vol. 104, pp. 1122-1127, 2013.
22. Ghavam, M. H., Morakkabati, M., Abbasi, S. M., and Badri, H., "Flow Behavior Modeling of IMI834 Titanium Alloy During Hot Tensile Deformation", *Transactions Nonferrous Metals Society China*, Vol. 25, pp. 748-758, 2015.
23. Suzuki, H. G., Takakura, E., and Eylon, D., "Hot Strength and Hot Ductility of Titanium Alloys-a Challenge for Continuous Casting Process", *Materials Science and Engineering A*, Vol. 263, pp. 230-236, 1999.

24. Lin, D., and Sun, F., "Superplasticity in a Large-Grained TiAl Alloy", *Intermetallics*, Vol. 12, pp. 875-883, 2004.
25. Suzuki, H. G., and Eylon, D., "Hot Ductility of

Titanium Alloy: a Challenge for Continuous Casting Process", *Materials Science and Engineering A*, Vol. 243, pp. 126-133, 1998.